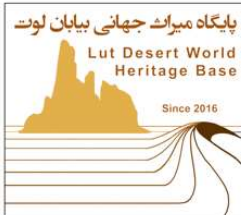


استفاده از مدل سازی عددی به منظور برآورد سرعت هسته‌بندی و زمان رشد میکروولیت‌های پلازیوکلاز در روانه‌های بازالت کواترنری گندم بريان، شمال خاور کرمان

داود رئیسی^{۱*}، سارادرگاهی^۲، سید حسام الدین معینزاده^۲ و محسن آروین^۲



^۱ دانشجوی دکتری، دانشکده زمین‌شناسی، پردیس علوم، دانشگاه تهران، تهران، ایران

^۲ استادیار، گروه زمین‌شناسی، دانشکده علوم، دانشگاه شهید باهنر کرمان، کرمان، ایران

^۳ استاد، گروه زمین‌شناسی، دانشکده علوم، دانشگاه شهید باهنر کرمان، کرمان، ایران

تاریخ پذیرش: ۱۳۹۰/۰۳/۱۷ تاریخ دریافت: ۱۳۸۹/۰۹/۱۳

چکیده

گندم بريان نوعی سرتخت (Messa) پوشیده از روانه‌های گذازه‌ای بسیار تیره رنگ است که به عنوان بخشی از فعالیت آتشفسانی زمان کواترنری ايران شناخته می‌شود. اين روانه‌ها که از نوع آلكالی اليوين بازالت‌های سالم یا با دگرسانی کم هستند حدود ۴۸۰ کیلومتر مربع از بخش جنوبی کوير لوت در شمال خاور کرمان را در برمی‌گيرند. بافت کلی جريان‌های بازالتی پورفيري تا گلوموريورفيري با زمينه اينترستال تا اينترگرانولار است. کانی‌های اصلی جريان شامل درشت‌بلورهای اليوين و كليتوپروکسن همراه با ميکروولیت‌های پلازیوکلاز هستند. ميکروولیت‌های پلازیوکلاز به عنوان کانی اصلی اين سنگ‌ها شناخته می‌شوند. با پردازش تصاویر مقاطع نازک و با استفاده از روش پراکندگی اندازه بلور (CSD)، شكل سه‌بعدی بلورهای پلازیوکلاز و همچين زمان رشد و سرعت هسته‌بندی اين بلورها برآورده شد. بر اين اساس شكل ميکروولیت‌های پلازیوکلاز، تخته‌اي و اندازه بلور (CSD)، شكل سه‌بعدی بلورهای پلازیوکلاز و همچين زمان رشد و سرعت هسته‌بندی اين بلورها برآورده شد. بر اساس اين محاسبات، زمان رشد (t) و سرعت هسته‌بندی (J) از دو مدل متفاوت ارائه شده در روش CSD به ترتيب برابر با $10:1$ و $10:1$ مشخص شد. يك‌باختي نموار CSD و شيب ثابت آن تأثير بسيار کم فرایندهای فيزيکي همچون آميختگي ماگمايی را در هنگام صعود ماگماي بازالتی و رسيدن آن به سطح زمين نشان مي‌دهد. بر اساس اين محاسبات، زمان رشد (t) و سرعت هسته‌بندی (J) از دو مدل متفاوت ارائه شده در روش CSD به ترتيب برابر با $2/53$ تا $3/21$ سال و $10^{-4} \text{ mm}^3/\text{s}$ تا $10^{-4} \text{ mm}^3/\text{s}$ برآورده شد. نتائج حاصل با طبیعت ماگماهای آلكالی بازالتی همخوانی كامل دارد.

کليوداژهه: سرتخت گندم بريان، پراکندگی اندازه بلور، شكل سه‌بعدی، آميختگي ماگمايی

*نويسنده مسئول: داود رئيسي

E-mail: d.raeisi@ut.ac.ir

۱- مقدمه

در اين مطالعات (Higgins, 2006; Morgan & Jerram, 2006) چگالي هسته‌بندی بلورهای پلازیوکلاز از ماگمای (Cashman & Marsh, 1988) بازالتی را اندازه‌گيری کردند و ميزان آن را تابع زمان و آهنگ سرد شدن دانستند. اگر چه مطالعات CSD توسيع (Cashman & Marsh, 1988) آغاز گشت، اما هيچکدام روي نظم فضائي بلورها کار نکرده‌اند و مطالعات به دو بعد مقاطع نازک محدود بودند. اما در حققت بلورها داراي سه بعد هستند و اندازه سه‌بعدی بلور باید برای مطالعات پراکندگی اندازه بلور به کار رود تا برآورده نزدیک تری برای زمان سرد شدن و تبلور بلورها فراهم شود. به منظور برآورده شکل سه‌بعدی بلورها (Higgins, 1994) يك مدل سازی عددی بر پایه اجسام مکعبی ارائه داد. Morgan & Jerram (2006) نيز پژوهش‌های کامل تری به منظور برآورده شکل سه‌بعدی بلورها ارائه دادند. در مطالعه کتونی از هر دو روش ارائه شده برای برآورده بهتر پراکندگی اندازه بلورها (دو بعدی و سه بعدی) استفاده شده است. در ابتدا اندازه گيری‌های دو بعدی مقاطع انجام و سپس با استفاده از مدل سازی عددی، شکل سه‌بعدی بلورها پلازیوکلاز برآورده و در پایان با بهره گيری از نرم افزار CSD correction 1.39 مخصوصی است که اين بلور در محدوده زيادي از شرایط پلازیوکلاز در پژوهش حاضر آن است که اين بلور در آشيانه ماگمايی، در بلورهای پلازیوکلاز به ثبت مى‌رسد. شواهد ژئوشيميايي موجود در پلازیوکلاز همچون تغغيرات ترکيب آنورتیت از مرکز تا حاشيه بلور مى‌تواند به عنوان تغيير در ترکيب ماگما در آشيانه ماگمايی در اثر فرایندهای فيزيکي همچون تعریق بلوری و يا تزريقي ماگمايی تفسير شود.

۲- زمین‌شناسي صحرایي

سرتخت گندم بريان در حاشیه جنوبی کوير لوت و در امتداد گسل نایند به صورت

بيشتر اطلاعات در ارتباط با تاريخ سرد شدن بازالت‌ها از طریق مطالعات بافتی بر روی آنها به دست آمده است. توسعه بافت در سنگ‌های بازالتی تحت کترل عواملی همچون آهنگ سرد شدن، جريان سیالات، ترکیب مایع، آهنگ رشد و هسته‌بندی، هسته‌بندی هتروژن و تهنشینی یا شناوری بلورها است. در علم سنگ‌شناسی به طور کلی طبیعت سنگ از آغاز تشکیل تا فرایندهایی که طی رشد با آنها مواجه شده است و انجامدنه نهایی سنگ، همگی مورد بررسی قرار می‌گيرند. اندازه گيری‌های شیمیایی و ايزوتوبی حجم زیادی از اطلاعات سنگ‌شناسی کتونی را در بر می‌گيرند، اما نقش روابط بافتی را در اين بین نباید نادیده گرفت. يكی از متداول‌ترین روش‌ها در اندازه گيری‌های بافتی، روش پراکندگی اندازه بلور (Crystal Size Distribution) است که به اختصار به عنوان روش CSD شناخته می‌شود. CSD در واقع بازتاب کننده ويزگی ذاتی يك سنگ همچون چگالي و يا ترکیب سنگ است (Higgins, 2006). اين روش يك سنگ همچون چگالي و يا ترکیب سنگ است (Higgins & Roberge, 2003) اندازه بلور بازتابی از تاريخ تبلور آن است. تبلور ماگما اندازه گيری‌های بافتی را به نظر مى‌رسد اولين بار توسط جيمز هال در سال ۱۸۰۵ بر اساس موضوعی است که به نظر مى‌رسد اولين بار توسط جيمز هال در سال ۱۸۰۵ در Karyanهای تجربی روش بافت‌ها مورد بحث قرار گرفت (Cashman & Marsh, 1988). در روش CSD به طور کلی يك ديد از آخرین مرحله تحول بافتی در سنگ فراهم می‌شود، اگر چه گاهی اطلاعات کمی از بافت‌های پيشين موجود نيز حاصل می‌شود (Marsh, 1988). مطالعه بر روی توزيع اندازه بلورها در سنگ‌های آذرین و دگ‌گونی به منظور بررسی سرعت و زمان تبلور به طور گسترده در دهه نود ميلادي مورد استفاده توجه قرار گرفته است (Marsh, 1998; 1988). در واقع مطالعات ياد شده شرایط فيزيکي حاكم در طی تبلور ماگما را مشخص می‌كند که اين نتائج كامل کننده مطالعات شيميايي هستند. گفتنی است که ثوري CSD اولين بار توسيع Randolph & Larson (1971) ارائه شد و اولين کاربرد زمین‌شناسي اين ثوري توسيع Cashman & Marsh (1988) در دریاچه گذازه‌ای ماگمايی انجام شد

در این معادله، t زمان اقامت بلور در ماگمای فوران کرده به سال، G آهنگ رشد بلور بر اساس میلی متر بر ثانیه، m شب نمودار و حاصل ۳۱۵۳۶۰۰۰ برابر است (Cashman & Marsh, 1988). شب زیاد نمودار تبدیل واحد ثانیه به سال است (Undercooling) (Rashan می دهد و یک شب صاف تر، یک Rashan اقامت بیشتر در سامانه را نشان می دهد که با فروچاییدگی بالاتری همواره می شود. میزان هسته بندهی بلورها نیز در این نمودارها قابل برآورد است؛ به طوری که هر چه بلورها بزرگتر باشند هسته بندهی کمتری خواهند داشت و بالعکس.

Cashman (1993) آهنگ رشد پلاژیوکلاز در ماگمای بازانی را بررسی کرد و متوجه شد آهنگ سرد شدن متغیر و برای یک آهنگ سرد شدن ۳ ساله، آهنگ رشد 10^{-9} mm/s و برای سرد شدن ۳۰۰ ساله، آهنگ رشد 5 mm/s است. به طور کلی ماگماهایی که گرانروی بالاتری دارند، آهنگ انتشار کمتری خواهند داشت. افزایش آهنگ رشد به میزان یک واحد، زمان اقامت را به اندازه ۱۰ برابر کاهش می‌دهد و بالعکس. این مسئله نشان دهنده حساسیت زمان اقامت به مقدار آهنگ رشد است. CSD برای مطالعاتی همچون بررسی آمیختگی ماگمایی، وضعیت تفریق بلوری، تغییرشکل ماگما و بلورها و شکستگی آها و همچنین زمان و سرعت سرد شدن و بالا آمدن ماگما و توقف تبلور هنگام بالا آمدن کاربرد دارد (Higgins, 2000).

۳-۱. مبانی نظری مدل‌سازی عددی به منظور برآورد شکل سهبعدی

برای رسم دقیق نمودار CSD، اندازه‌گیری و تعیین شکل سه بعدی از دو بعدی نیاز است تبدیل اندازه‌های دو بعدی به سه بعدی یک کار پیچیده استرنولوژی (Mock and Jerram, 2005) است (Stereological). علم ریاضی است که کاربری اصلی آن در راستای مطالعات زیستی است؛ اما با هدف زمین‌شناسی نیز توسط (Cashman and Marsh (1988); Peterson (1996) (Proussevitch & Sahagian (2001)) مورد استفاده قرار گرفته است. به طور کلی می‌توان این گونه بیان کرد که داده‌های خام حاصل از اندازه‌گیری بلور در یک مقطع نازک، در واقع تنها اندازه‌گیری سطح مقطع بلور در امتداد سطح برش است (شکل (۳)، در حالی که در مباحث تحلیلی فرایندهای سنگ‌شناختی، داده‌های

در بیشتر مواد طبیعی اندازه بلورها متغیر است. متغیر بودن نسبت محور کوتاه تقسیم بر محور متوسط S/I (Cashman 1990) به عنوان بازتابی از تغییر شرایط تبلور با زمان و همچنین افزایش حرک و جنبش مانند هنگام فروزان مطرخ شده است. درین عامل‌هایی که شکل بلور را کنترل می‌کنند ساختار بلور و درجه پتانسیل شیمیایی اهمیت بیشتری دارند؛ به عبارت دیگر شکل و رفتار بلور توسط شرایط

Higgins (1994) اولین بار برای تعیین ابعاد بلور در یک مکعب راست گوش، صفحه معرف کانی در مقطع نازک سنگها با جهت‌یابی اختیاری فرض و بعد آن را محاسبه کرد. در روش پیشنهادی وی، بیشترین نسبت عرض به طول در مقطعی که دورترین لبه‌ای بلور را قطع کند، پیدا می‌شود. مقدار این نسبت برابر است. Higgins (1994) به طور شاخص برای S عدد یک و برای L و I $(L+I)/2S$ اعداد $1.05, 2.01$ را برای جهت‌دهی‌های محدود و غیر محدود در نظر گرفت. شکل L از داده‌های به دست آمده از اندازه‌گیری عرض به طول بلور (متغیرهای S, I و L) فراهم آندازه داشت. آنرا با داده‌های

دومین بار (Morgan & Jerram 2006) طرحی جدید از مدل‌سازی ارائه دادند که در آن برای تعیین ابعاد بلور، نسبت عرض به طول را در برابر فراوانی رسم کنند. برای کانی‌های ایزوفتریک یا Massive یک پیکن پهن در نسبت عرض به طول یا محورهای short/intermediate وجود دارد و بلورها حالت منشوری دارند

دشتی پوشیده شده از گذارهای بازالتی است. این بازالت‌ها را می‌توان به دو بخش شمالی و جنوبی تقسیم کرد. در بخش شمالی بازالت‌ها فرسایش پیشتری متحمل شده و در زیر رسوابات نفوذن قرار گرفته‌اند، بنابراین از نظر سنی باید از این رسوابات قدیمی تر به شمار آیند. در این بخش چهار مخروط آتشفشاری نیز خودنمایی می‌کنند که ارتباط آنها با بازالت‌ها چندان روشن نیست. بخش جنوبی که دشت بازالتی را شامل می‌شود منطقه‌ای به وسعت تقریبی ۳۵۰ کیلومتر مربع پوشیده از گذارهای بازالتی است (شکل‌های ۱ و ۲). این بازالت‌ها به دلیل جوان بودن، دگرانسانی کمی متحمل شده‌اند و بر روی رسوابات نفوذن قرار گرفته‌اند و طور مشخص از بازالت‌های بخش شمالی جوان‌تر هستند. قرارگیری جریانات بازالتی و مخروط‌های خروجی در امتداد گسل ناییند نقش گسل یادشده را در خروج مأگما آشکار می‌سازد. سامانه گسلی موجود در منطقه از روند شمالی- جنوبی پیروی می‌کند و خروج جریان نیز در همین امتداد بوده است. سنگ‌ها بازالتی موجود در دشت بازالتی ویژگی‌های بافتی تقریباً یکسانی دارند. این سنگ‌ها همگی آفاتنیک و حاوی درشت بلورهای بسیار کم الیوین هستند. سنگ‌ها به طور کلی تیره رنگ هستند و آثار ایندیگریتی شدن الیوین‌ها نیز در آنها دیده می‌شود.

۳- نظریه پر اکنده‌گی اندازه بلور (CSD)

برای محاسبه بر اساس آن پراکندگی اندازه بلور در سنگ‌ها (Marsh 1988) و Cashman & Marsh (1988) یک تئوری ارائه دادند که لگاریتم طبیعی چگالی تراکمی بلور (n) در برابر طول بلور (L) رسم می‌شود و خط حاصل CSD نامیده می‌شود. این روش به طور وسیع در تفسیر فرایندهای ماگمایی بر اساس بافت‌های مشاهده شده در سنگ آذرین درونی و بیرونی استفاده شده است. در مورد سنگ‌های آذرین، CSD ممکن است اطلاعاتی از تاریخچه سرد شدن، آهنگ رشد بلورها و فرایندهای ماگمایی همچون دمای سکونت و هضم بلورها فراهم کند. همچنین CSD ممکن است برای پی‌بردن به دینامیک مخزن ماگمایی و جزیات تاریخچه فوران نیز به کار رود. متغیرهای بافتی همچون اندازه چیره بلورها، چگالی بلورها و حجم جزیی بلورها از سیر فهرابی خط CSD مشتق گرفته می‌شوند Higgins, 2000; Cashman & Marsh, 1988; Cashman, 1990; Higgins, 1994; (Mock & Jerram, 2005; Higgins, 2006; 1996; Jerram & Higgins, 2007

شناسایی مراحل مجزای سرد شدن ماگما برای مشخص کردن این که انجام مانند میکنند از یک سامانه بلور منفرد و یا سامانه انتظامی با دو بلور متفاوت (آمیختگی ماقمایی) حاصل شده است نیز با این روش قابل بررسی است (Monfaredi et al., 2009). هدف اصلی CSD، بررسی روابط بین اندازه بلور و چگالی تراکمی بلور است و منحنی حاصل یک ارتباط مشخص را نشان می‌دهد. این نمودارها تغییرات در فراوانی و اندازه بلور را به عنوان تابعی از زمان جریان در سامانه نشان می‌دهند (Marsh, 1988). هدف اصلی مطالعات CSD بررسی ارتباطات بین اندازه بلور (mm) و چگالی تراکمی بلور (n) است. پراکنده‌گی اندازه بلوری برای بدست آوردن اطلاعات کمی از ابعاد و ارتباط بلورها در سنگ‌های آذرین استفاده می‌شود. در نمودار اندازه در برابر چگالی تراکمی عموماً یک ارتباط آشکار بین متغیرها دیده می‌شود (Marsh & Cashman, 1988; Higgins, 1994; 1998; 2000; 2002; Marsh, 1998; 1999; 2002). این نمودارها تغییرات در فراوانی و اندازه بلورها را به عنوان تابعی از زمان اقامت آنها در سامانه و تابعی از خروج آنها از سامانه توصیف می‌کنند. نمودار حاصل برای بلورها همیشه به صورت ایده‌آل و مستقیم نیست؛ به طوری که گاهی تحت اثر عواملی همچون آمیختگی و یا تغییر سرعت بلور می‌تواند خطوط به صورت شکسته درآیند و یا شبیه‌های متفاوت نشان دهند. ارتباط خطی شبیه نمودار با میانگین زمان اقامت بلور در سامانه ارتباط دارد که این زمان با استفاده از یک معادله ساده تعیین می‌شود:

$$t = -1/(G \times m \times 31536000)$$

پایدار و در سامانه باز تاریخ تبلور ساده به صورت یک خط راست در سامانه نیمه لگاریتمی ظاهر می‌شود که معادله آن به صورت زیر است:

$$n = n^0 \exp(-L/G_t)$$

در این معادله $n = dN/dL$ است که N مساوی با تعداد کل بلورهای با اندازه L کمتر از L و L اندازه بلورها در هر بازه است. G میانگین آهنگ رشد خطی و t میانگین زمان اقامت بلور در سامانه است. مقدار n_0 چگالی هسته‌بندی در نقطه‌ای است که L به صفر میل می‌آید. آهنگ هسته‌بندی J از راه $J/G = n_0$ به دست می‌آید که در آن n_0 کمیت ثابت است و از تقاطع محور چگالی تراکمی بلور به دست می‌آید. با توجه به معادلات بیان شده و با در نظر گرفتن میزان آهنگ رشد $/mm^3$ و شب نمودار و مقادیر n_0 زمان اقامت و سرعت هسته‌بندی به ترتیب برابر با $2/53$ سال و $mm/s = 9/32 \times 10^{-9}$ مشخص شد (جدول ۱). در روش دوم پس از تعیین شکل سه‌بعدی بلور با استفاده از روش مدل‌سازی عددی، برای تعیین شب نمودار و یافتن نقطه n_0 از نرم‌افزار ۱.۳۹ CSD corrections بهره‌گرفته و سپس بر اساس آن میانگین زمان اقامت میکروولیت‌های پلازیوکلاز در سامانه و سرعت هسته‌بندی آنها به ترتیب $3/21$ سال و $mm/s = 9/32 \times 10^{-9}$ تعیین شد (جدول ۱). گفتنی است که در هنگام استفاده از این نرم‌افزار باید اطلاعاتی از میزان گردشگی بلور، میزان جهت‌یافتگی نمونه‌ها، برآورد شکل سه‌بعدی، درصد خفات در نمونه‌های اندازه‌گیری شده و درصد پلازیوکلاز در مقطع مشخص شوند و در پایان نمودار با توجه به داده‌های بیان شده توسط نرم‌افزار رسم می‌شود (شکل ۱۲).

۴- نتیجه‌گیری

در مآگمای بازالتی گندم بریان با توجه به سرعت سریع سردشدن، زمان سکونت کافی برای تبلور بلورها وجود ندارد، بنابراین بلورهای پلازیوکلاز که نسبت به الیوین و پیروکسن سرعت رشد کمتر و در نتیجه سرعت هسته‌بندی پیشتری دارند، رشد کمتری خواهند داشت. علت اصلی پرشیب بودن منحنی، سرعت زیاد سردشدن مآگمای بازالتی است که به تشکیل میکروولیت‌های کوچک منجر شده است. با توجه به آن که مآگماهایی که چسبندگی کمتری دارند آهنگ هسته‌بندی انتشارشان پیشتر است، بنابراین در بازالت‌های گندم بریان با توجه به چسبندگی کم آنها، قابلیت هسته‌بندی زیاد بوده است، اما بلورها رشد کمی حاصل کرده‌اند. به عبارتی سرعت رشد بلورهای آنها از سرعت هسته‌بندی شان پیشتر است. اثر آهنگ سردشدن به طور کلی در ارتباط با آهنگ هسته‌بندی یا چگالی هسته‌بندی بحث می‌شود. اگر آهنگ هسته‌بندی کم و آهنگ رشد زیاد باشد، بلورهای بزرگ پدید می‌آیند، اما اگر آهنگ هسته‌بندی زیاد باشد منجر به ایجاد بلورهای کوچک‌تر می‌شود. به عبارت دیگر اندازه بلورها تابعی از میزان نسبت سرعت نطفه‌بندی به سرعت رشد آنها است، به طوری که کانی‌هایی که به سختی نطفه‌تشکیل می‌شوند، اما به آسانی رشد می‌کنند بلورهای بزرگ‌تر را به وجود می‌آورند، اما در صورتی که عمل نطفه‌بندی به راحتی صورت گیرد بلورهای کوچک اما فراوان ظاهر می‌شوند. در مآگمای بازالتی گندم بریان بلورهای الیوین و پیروکسن فاز ابتدایی تبلور را تشکیل داده و نطفه‌بندی کم اما سرعت رشد بالا داشته‌اند، بنابراین شکل‌های چندوجهی و درشت پدید آورده‌اند. حال آن که پلازیوکلازها در فاز دوم تبلور ایجاد شده‌اند که پیدایش کانی‌هایی با تعداد فراوان و اندازه کوچک نشانه سرد شدن سریع و نطفه‌بندی فراوان است. یکنواختی نمودار و شب قطبی ظاهر می‌شود که فرایند‌های فیزیکی همچون آمیختگی مآگمایی CSD و شب ثابت آن، تأثیر بسیار کم فرایند‌های فیزیکی همچون آمیختگی مآگمایی در مآگمای بازالتی هنگام صعود و رسیدن به سطح زمین را نشان می‌دهد. بر اساس پژوهش حاضر، زمان رشد (J) و سرعت هسته‌بندی (J) برای بازالت‌های گندم بریان به ترتیب برابر با $2/53$ سال و $mm/s = 9/32 \times 10^{-9}$ بر اساس روش دوم $2/21$ سال و $mm/s = 9/32 \times 10^{-9}$ بر اساس روش دوم برابر شد. نتایج حاصل با طبیعت مآگمایی آنکه بازالتی هموارانی کامل دارد.

(شکل ۴)، اما بلورهای تخته‌ای (tabular) یک پیک مشخص در I/S دارند (شکل ۵).

محور کوچک S را ثابت (یک) در نظر می‌گیرند. در هر دو حالت یاد شده محور متوسط نیز قابل تعیین است؛ اما محور بزرگ روی نمودار، تنها از پیک کمکی که نشان دهنده I/L است مشخص می‌شود. گاهی این پیک در پراکندگی طبیعی، کوچک و یا نامشخص است، بنابراین از تقریب دیگری بهره می‌برند که محاسبه I و L از راه چولگی (Skewness) پراکندگی است. در واقع یک تطبیق بین چولگی I/L برای پیشتر جامدها به جز آنها که تقریباً هم‌بعدند وجود دارد (Higgins, 2006). چولگی می‌تواند برای برآورد متغیر L به کار رود حتی اگر زیاد دقیق نباشد. با این حال بهترین راه یافتن مقدار L، در مقاطع نازک است. برای دانه‌هایی که شکل تخته‌ای دارند نسبت عرض به طول (W/L) برابر با نسبت محور کوتاه به متوسط (S/I=W/L) است (Higgins, 2000; 2006).

$$\frac{\text{mean } W/L - \text{mode } W/L}{\text{Standardeniation } W/L} = \text{چولگی}$$

$$\frac{I}{L} + \text{چولگی} = 0.5$$

با این حال این معادله نتایج مناسبی برای اشکال هم‌بعد نمی‌دهد. Garrido et al. (2001) روش دیگری برای تعیین I/L نشان دادند. آنها از یک ارتباط گرافیکی بین میانگین مد W/L و I/L برقرار کردند (Higgins, 2006).

$$\frac{I}{L} = \frac{(\text{mean } w/L + 1.9(\text{mode } w/L) - 2 - 1.49(\text{mode } w/L) + 0.056)}{0.126}$$

با بهره‌گیری از معادلات و مثال‌های بیان شده می‌توان برآورد مناسبی از شکل سه‌بعدی بلورها و با استفاده از نرم‌افزار ۱.۳۹ CSD correction، اندازه گیری دقیق‌تری از میزان اقامت بلور در سامانه و آهنگ هسته‌بندی بلورها به دست آورد.

۲- نتایج تحلیل‌های دوبعدی برای میکروولیت‌های پلازیوکلاز

پس از تهیه عکس دیجیتالی از مقاطع نازک، به منظور پوشش بهتر، عکس‌ها با نرم‌افزار فتوشاپ CS6 (Adobe Photoshop CS6) کنار هم چیده و میکروولیت‌ها به طور مجزا رسم و اندازه گیری شدند (شکل‌های ۶ و ۷). تعداد بلورهای اندازه گیری شده ۵۱۹ عدد (Hmorgan & Jerram 2006) تعداد بلور اندازه گیری شده بیش از ۱۰۰ عدد را برای نتیجه گیری قابل قبول در مطالعات CSD پیشنهاد می‌دهند. بر اساس فراوانی رده‌های مختلف و تراکم بلورها، نمودار لگاریتمی طبیعی چگالی تراکمی (n) در برای اندازه بلور (L) رسم می‌شود. شب این نمودار مساوی با $(G/J)^{-1}$ و محل تقاطع آن با محور چگالی تجمعی، با چگالی هسته‌بندی (n_0) که یک کمیت ثابت است برآور می‌باشد. در اینجا $L=0$ است و می‌توان معادله سرعت هسته‌بندی (J) در لحظه توقف بلور را مشخص کرد که J از معادله $J = n_0(G/J)^{-1}$ حاصل می‌شود. آهنگ رشد با توجه به مطالعات بیان شده برای مآگمای بازالتی به دلیل سرعت سردشدن بالا، $mm/s = 10^{-9}$ در نظر گرفته می‌شود (شکل ۸).

۳- نتایج تحلیل‌های سه‌بعدی میکروولیت‌های پلازیوکلاز

در روش دوم، برآورد زمان اقامت و سرعت هسته‌بندی میکروولیت‌های پلازیوکلاز با بهره‌گرفتن از مدل‌سازی سه‌بعدی و استفاده از نرم‌افزار ۱.۳۹ CSD correction شد. تعداد بلورهای اندازه گیری شده در مجموع ۳۱۰ عدد است (شکل‌های ۹ و ۱۰).

داده‌ها در نرم‌افزار ۲۰۰۷ Excel وارد و نسبت I/S برابر با تعیین شد (شکل ۱۱).

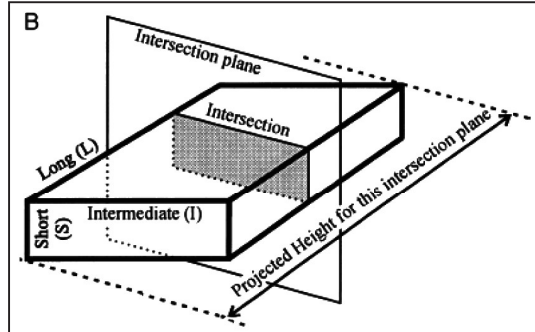
به منظور رسم نمودار، اعداد به دست آمده در بازالت‌های مناسب جدا شدند. سپس با توجه به پیک مشخص و مقایسه با آزمایش‌های پیشین، نسبت محورهای کوتاه، متوسط و بلند (long:intermediate:short) به دست آمد. با توجه به نمودار تهیه شده، شکل بلورهای پلازیوکلاز، تخته‌ای (tablet) تعیین و ابعاد بلور ($10:10:1$) مشخص شد (شکل ۱۱).

۴- نتایج تحلیل‌ها

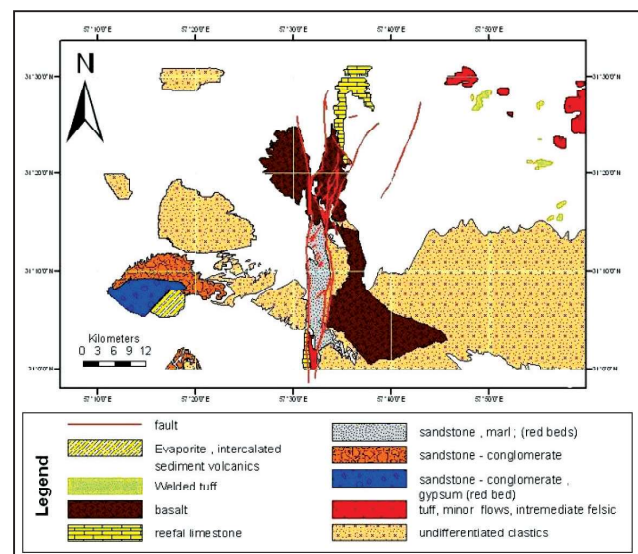
روش دو بعدی: پراکندگی اندازه بلور بازالتی از تاریخ تبلور آن است. در شرایط



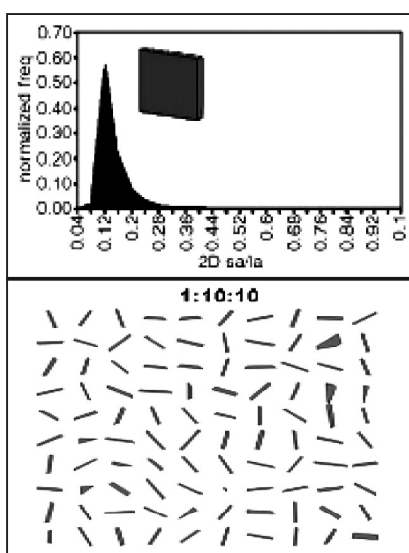
شکل ۱- تصویر لندست سه بعدی از دشت بازالتی و مخروط های آتششانی (تصویر لندست برگرفته شده از www.usgs.gov)



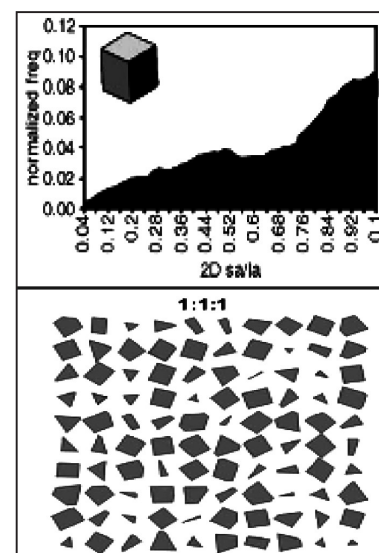
شکل ۳- در مقطع سنگ، ابعاد S و I قابل مشاهده اند (Higgins, 2000)



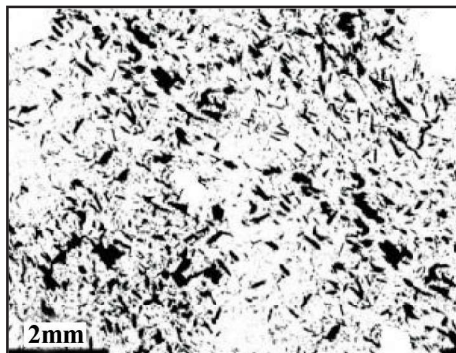
شکل ۲- نقشه زمین‌شناسی منطقه گندم بربان (برگرفته از نقشه ۱/۱۰۰۰۰۰ ناحیه لکرکوه، سایت سازمان زمین‌شناسی و اکتشافات معدنی کشور، www.GSI.ir)



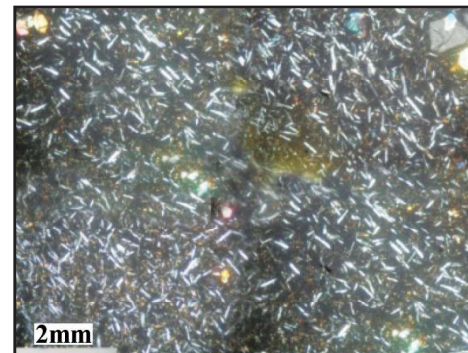
شکل ۵- نمودار نسبت عرض به طول مجموعه ای از بلورهای تخته ای (Morgan & jerram, 2006)



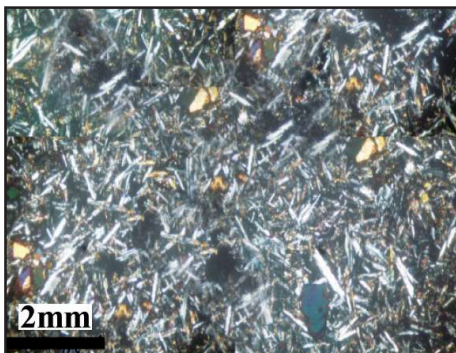
شکل ۶- نمودار نسبت عرض به طول برای بلور منشوری (Morgan & jerram, 2006)



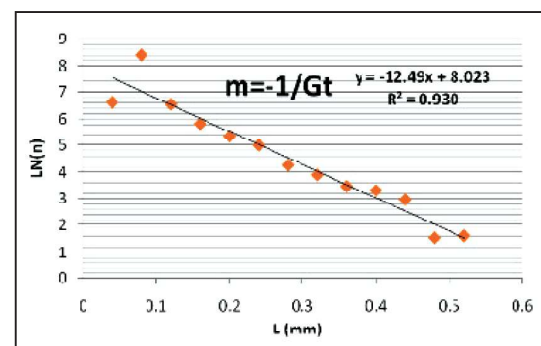
شکل ۷- نمونه الیوین بازالت پردازش شده



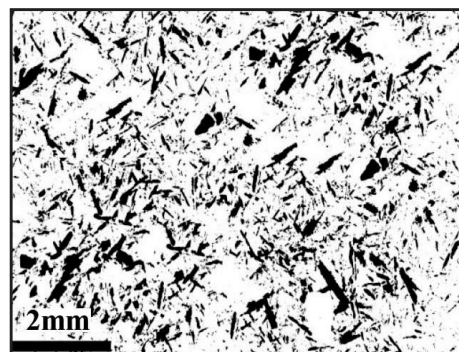
شکل ۶- نمونه الیوین بازالت در نور پلاریزه



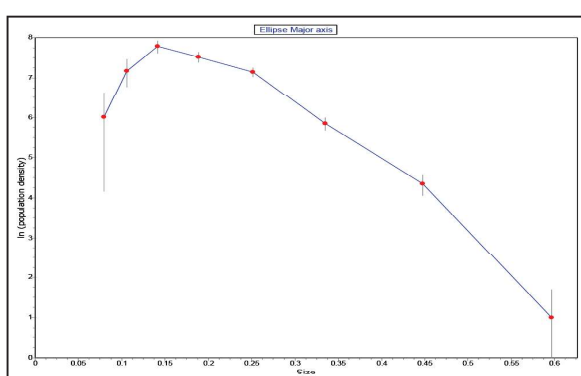
شکل ۹- نمونه مقطع نازک بازالت در نور پلاریزه



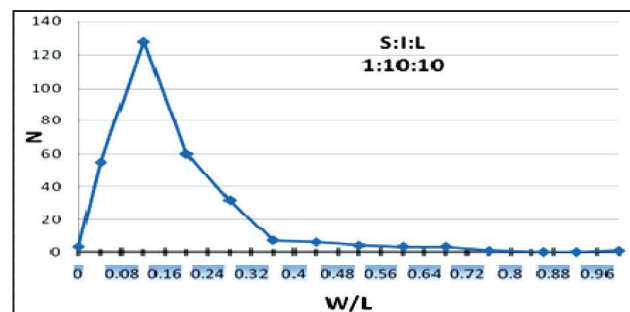
شکل ۸- برآورد ابعاد بلورها (محور کوتاه، متوسط، بلند)



شکل ۱۰- نمونه مقطع نازک بازالت پردازش شده



شکل ۱۲- نمودار حاصل از نرم افزار 1.39 CSD correction (محور افقی اندازه بزرگترین بعد بلور L و محور عمودی چگالی تراکمی (Ln(n) است).



شکل ۱۱- نمودار برآورد ابعاد بلورهای پلازیوکلاز (محور افقی مقدار عرض میکروولیت‌های پلازیوکلاز تقسیم بر طول میکروولیت‌ها در مقاطع میکروسکوپی و محور عمودی فراوانی بلورها در هر بازه است).

جدول ۱- نتایج به دست آمده از روش پراکنده‌گی اندازه برای تعیین زمان رشد و هسته‌های میکروولیت‌های پلازیو کالز در بازلت‌های گندم بربان

روش	شب	عرض از مبدأ	عرض از مبدأ (t)	زمان رشد (t)	سرعت هسته‌بندی (J=mm ⁻³ /s ⁻¹)	سرعت رشد mm/s ⁻¹
اول	-12.49	8.23		2.53 سال	0.17×10 ⁻⁹	10 ⁻⁹ mm/s ⁻¹
دوم	-9.87	9.32		3.21 سال	9.32×10 ⁻⁹	10 ⁻⁹ mm/s ⁻¹

References

- Cashman, K. V. & Marsh, B. D., 1988- Crystal size distribution (CSD) in rocks and the kinetics and dynamics of crystallisation II. Makaopuhi Lava Lake. Contributions to Mineralogy and Petrology, 92: 292-305.
- Cashman, K. V., 1990- Textural constraints on the kinetics of crystallization of igneous rocks. In: Nicholls, J., Russell, J.K. (Eds.), Modern methods of igneous petrology: understanding magmatic processes. Mineralogical Society of America, p: 259–314.
- Cashman, K. V., 1993- Relationship between plagioclase crystallization and cooling rate. Contributions to Mineralogy and Petrology, 113: 126 -142.
- Garrido, C. J. & Kelemen, P. B., Hirth, G., 2001- Variation of cooling rate with depth in lower crust formed at an oceanic spreading ridge; plagioclase crystal size distributions in gabbros from the Oman ophiolite. Geochemistry Geophysics Geosystems, 2: 10.1029/2000GC000136.
- Higgins, M. D., 2002- Closure in crystal size distribution (CSD), verification of CSD calculations and the significance of CSD fans. American Mineralogist, 87, 160–164.
- Higgins, M. D. & Roberge, J., 2003- Crystal size distribution (CSD) of plagioclase and amphibole from Soufriere Hills volcano, Montserrat: evidence for dynamic crystallization textural coarsening cycles. Journal of Petrology, 44: 1401-1411..
- Higgins, M. D., 1994- Numerical modeling of crystal shapes in thin sections: estimation of crystal habit and true size. American Mineralogist, 79: 113–119.
- Higgins, M. D., 1996- Magma dynamics beneath Kameni Volcano Thera Greece, as revealed by crystal size and shape measurements. Journal of Volcanology and Geothermal Research, 70: 37-48.
- Higgins, M. D., 1998- Origin of anorthosite by textural coarsening: quantitative measurements of ural sequence of textural development. Journal of Petrology 39: 1307–1325.
- Higgins, M. D., 2000- Measurement of crystal size distributions. American Mineralogist, 85: 1105-1116 .
- Higgins, M. D., 2006- Quantitative textural measurement in igneous and metamorphic petrology. Cambridge university press, 265p.
- Jerram, D. A. & Higgins, M. D., 2007- 3D analysis of rock textures: Quantifying igneous microstructures. ELEMENTS. 3: 239-245.
- Marsh, B., 1988- Crystal size distribution (CSD) in rocks and the kinetics and dynamics of crystallization I. Theory Contributions to Mineralogy and Petrology, 99: 277–291.
- Marsh, B. D, 1998- On the interpretation of crystal size distribution in magmatic systems. Journal of Petrology, 39, 553-599.
- Mock, A. & Jerram. D. A., 2005- Crystal Size Distributions (CSD) in Three Dimensions: Insights from the 3D Reconstruction of a Highly Porphyritic Rhyolite. Journal of Petrology, 46: 1-17.
- Monfaredi, B., Masoudi, F. & Tabbakh, A. A., 2009- Magmatic Interaction as Recorded in Texture and Composition of Plagioclase Phenocrysts from the Sirjan Area, Urumieh-Dokhtar Magmatic Arc, Iran. Journal of Sciences, Islamic Republic of Iran, 20: 243-251.
- Morgan, D. J. & Jerram, D. A., 2006- On estimating crystal shape for crystal size distribution analysis. Journal of Volcanology and Geothermal Research, 154: 1–7.
- Peterson, T. D., 1996- A refined technique for measuring crystal size distribution in thin section. Contributions to Mineralogy and Petrology, 7: 99-105.
- Proussevitch, A. A. & Sahagian, D. L., 2001- Recognition and separation of discrete objects within complex 3D voxelized structures. Computers & Geosciences, 27: 441–454.
- Randolph, A. D. & Larson, M. A., 1971- Theory of Particulate Processes, Academic Press, New York. 251 p.